

Funktionale de Rayleigh-Plateau

IRP 1/4

I Description géométrique de l'aire surfaciale

$$1. \mathcal{V}(C_0) = \pi R_0^2 L = \boxed{\frac{2\pi^2}{k} R_0^2 = \mathcal{V}(C_0)}$$

$$\mathcal{V}(C) = \int_0^{2\pi/k} \pi R(z)^2 dz = \int_0^{2\pi/k} \pi R_p^2 [1 + \varepsilon \cos(kz)]^2 dz$$

$$\begin{aligned} \mathcal{V}(C) &= \frac{\pi R_p^2}{k} \int_0^{2\pi} (1 + 2\varepsilon \cos \xi + \varepsilon^2 \cos^2 \xi) d\xi = \frac{\pi R_p^2}{k} \left[\int_0^{2\pi} d\xi + \int_0^{2\pi} 2\varepsilon \cos \xi d\xi + \int_0^{2\pi} \varepsilon^2 \cos^2 \xi d\xi \right] \\ &= \frac{\pi R_p^2}{k} \left[2\pi + \varepsilon \left[\frac{\xi}{2} + \frac{1}{2} \sin \xi \cos \xi \right]_0^{2\pi} \right] = \frac{2\pi^2 R_p^2}{k} \left(1 + \frac{\varepsilon^2}{2} \right) \end{aligned}$$

$$\boxed{\mathcal{V}(C) = \frac{2\pi^2 R_p^2}{k} \left(1 + \frac{\varepsilon^2}{2} \right)}$$

$$2. \mathcal{V}(C) = \mathcal{V}(C_0) \Leftrightarrow \frac{2\pi^2 R_p^2}{k} \left(1 + \frac{\varepsilon^2}{2} \right) = \frac{2\pi^2}{k} R_0^2$$

$$\Leftrightarrow R_p = R_0 \frac{1}{\sqrt{1 + \frac{\varepsilon^2}{2}}}$$

$$\Leftrightarrow \boxed{R_p \approx R_0 \left(1 - \frac{\varepsilon^2}{4} \right) + \mathcal{O}(\varepsilon^3)}$$

$$S(C) = \int_0^{2\pi/k} 2\pi R(z) dP = \int_0^{2\pi/k} 2\pi R_p (1 + \varepsilon \cos kz) \left(1 + \frac{1}{2} R_0^2 \varepsilon^2 k^2 \sin^2 kz \right) dz$$

$$= 2\pi R_p \int_0^{2\pi/k} \left(1 + \varepsilon \cos kz + \frac{1}{2} R_0^2 \varepsilon^2 k^2 \sin^2 kz \right) dz + \mathcal{O}(\varepsilon^3)$$

$$= 2\pi R_p \left[\frac{2\pi}{k} + \frac{1}{2} R_0^2 \varepsilon^2 k \pi \right] + \mathcal{O}(\varepsilon^3)$$

$$S(C) = \frac{4\pi^2}{k} R_0 \left(1 - \frac{\varepsilon^2}{4} \right) \left(1 + \frac{1}{4} R_0^2 \varepsilon^2 k^2 \right) + \mathcal{O}(\varepsilon^3)$$

$$\boxed{S(C) = \frac{4\pi^2}{k} R_0 \left[1 - \frac{\varepsilon^2}{4} (1 - R_0^2 k^2) \right]}$$

$$4 \quad S_0 = \frac{4\pi^2}{k} R_0 \quad ? \quad S = \frac{4\pi^2}{k} R_0^2 \left[1 - \frac{\epsilon'}{4} (1 - R_0^2 k^2) \right] \quad \text{I.R.P.}$$

ainsi l'instabilité diminue l'énergie de surface si:

$$1 - R_0^2 k^2 > 0 \quad \text{soit} \quad k = \frac{2\pi}{d} < \frac{1}{R_0} \quad \Leftrightarrow \quad \boxed{d > \frac{R_0}{2\pi}}$$

c'est donc instable aux grandes longueurs d'onde.

II Champs de vitesse et de pression

1. Eq d'Euler linéarisée

$$\begin{cases} \text{div } \vec{v} = \frac{1}{r} \frac{\partial}{\partial r} (rv) + ikw = 0 \\ \frac{\partial v}{\partial t} + (\vec{v} \cdot \vec{\nabla}) v_r = -\frac{1}{\rho} \frac{\partial p}{\partial r} \\ \frac{\partial v_z}{\partial t} + (\vec{v} \cdot \vec{\nabla}) v_z = -\frac{1}{\rho} \frac{\partial p}{\partial z} \end{cases} \Rightarrow \begin{cases} \frac{1}{r} \frac{\partial}{\partial r} (rv) + ikw = 0 \\ \sigma u = -\frac{1}{\rho} \frac{\partial p}{\partial r} \\ \sigma w = -\frac{1}{\rho} ikp \end{cases}$$

2- $p(r)$

on a $u = -\frac{1}{\rho\sigma} \frac{\partial p}{\partial r}$ et $w = -\frac{1}{\rho\sigma} ikp$ on injecte dans la div \vec{v}

$$\frac{1}{r} \frac{\partial}{\partial r} \left[v \left(\frac{1}{\rho\sigma} \frac{\partial p}{\partial r} \right) \right] + \frac{k^2}{\rho\sigma} p = 0 \quad \Leftrightarrow \quad -\frac{1}{r} \frac{\partial p}{\partial r} - \frac{\partial^2 p}{\partial r^2} + k^2 p = 0$$

$$\Leftrightarrow \quad \boxed{\frac{\partial^2 p}{\partial r^2} + \frac{1}{r} \frac{\partial p}{\partial r} = k^2 p}$$

3- "A" représente l'amplitude de la perturbation de pression.

4- $\sigma u = -\frac{1}{\rho} \frac{\partial p}{\partial r}$ on pose $\mathcal{S} = kr \Rightarrow dr = \frac{1}{k} d\mathcal{S}$

d'où $\frac{\partial p}{\partial r} = k \frac{\partial p}{\partial \mathcal{S}} = Ak I_0 = Ak I_1 \Rightarrow \boxed{u = -\frac{kA}{\sigma\rho} I_1(kr)}$

$\sigma w = -\frac{ik}{\rho} p \Rightarrow \boxed{w = -I_0 \frac{Aik}{\sigma\rho}}$

I - Conditions aux limites

$$R(z, t) - R_0 = \xi(t) \operatorname{Re} [e^{ik_3 z}]$$

$$\begin{aligned} R(z, t) &= R_0 \left(1 - \frac{\varepsilon^2}{4}\right) \left[1 + \varepsilon \operatorname{Re} (e^{ik_3 z})\right] + \mathcal{O}(\varepsilon^3) \\ &= R_0 \left[1 - \frac{\varepsilon^2}{4} + \varepsilon \operatorname{Re} (e^{ik_3 z})\right] + \mathcal{O}(\varepsilon^3) \end{aligned}$$

$$\Rightarrow R(z, t) - R_0 = R_0 \varepsilon \operatorname{Re} (e^{ik_3 z}) + \mathcal{O}(\varepsilon^2) = \xi(t) \operatorname{Re} (e^{ik_3 z})$$

$$\Rightarrow \boxed{\xi(t) = R_0 \varepsilon}$$

$$2 - u = \frac{\partial R(t)}{\partial t} + w \frac{\partial R}{\partial z} \text{ linéarise.}$$

$$\Rightarrow u = \sigma \xi = -I_1(kv) \frac{Ak}{\rho \sigma^2}$$

$$\Leftrightarrow \boxed{\xi = -I_1(kv) \frac{Ak}{\rho \sigma^2}}$$

3 - Sous perturbation

$$P_0 - P_\infty = \frac{\gamma}{R_0}$$

$$4 - \frac{P_{\text{int}} - P_\infty}{\gamma} = \frac{1}{R_0} \left[1 - \varepsilon (1 - R_0^2 k^2) \cosh k_3 z\right]$$

$$= \frac{1}{R_0} - \frac{1}{R_0} \varepsilon (1 - R_0^2 k^2) \cosh k_3 z$$

$$\text{or } \frac{1}{R_0} = \frac{P_0 - P_\infty}{\gamma} \Rightarrow \frac{P_{\text{int}} - P_\infty}{\gamma} = \frac{P_0 - P_\infty}{\gamma} - \frac{1}{R_0} \varepsilon (1 - R_0^2 k^2) \cosh k_3 z$$

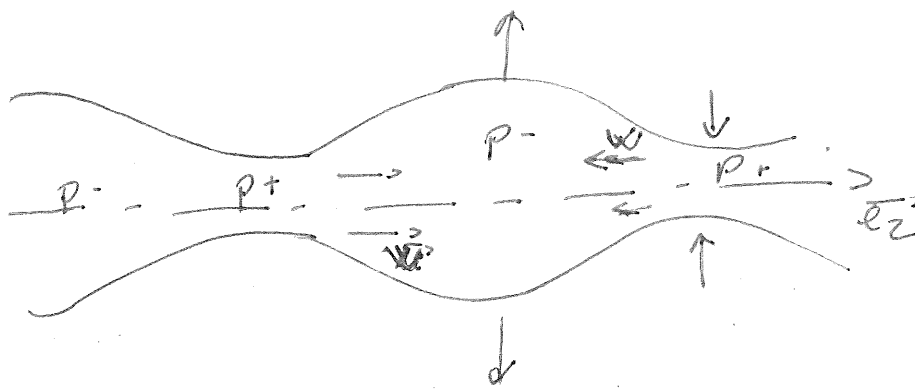
$$\Leftrightarrow \frac{P_{\text{int}} - P_0}{\gamma} = \frac{1}{\gamma} p(R_p) \operatorname{Re} (e^{ik_3 z}) = -\frac{\varepsilon}{R_0} (1 - R_0^2 k^2) \operatorname{Re} (e^{ik_3 z})$$

$$\Rightarrow p(R_p) = -\frac{\varepsilon \gamma}{R_0} (1 - R_0^2 k^2)$$

$$\text{or } \xi = \varepsilon R_0 \Rightarrow \varepsilon = \frac{\xi}{R_0} \left. \Rightarrow p(R_p) = -\frac{I_1 A k \gamma}{R_0^2 \rho \sigma^2} (1 - R_0^2 k^2) \right\}$$

$$\text{or } \xi = -I_1 \frac{Ak}{\rho \sigma^2}$$

6-



4/4

la perturbation est amplifiée.

IV. Taux de croissance

1-

$$\text{III.5} \rightarrow \rho(\nu) = \frac{\gamma}{R_0^2} \frac{A I_1(k\nu)}{\rho \sigma^2} (1 - R_0^2 k^2) \quad \Rightarrow \quad \boxed{\sigma^2 = \frac{\gamma}{\rho R_0^2} \frac{I_1(k\nu)}{I_0(k\nu)} (1 - R_0^2 k^2)}$$

$$\text{II.2} \rightarrow \rho(\nu) = A R I_0(k\nu)$$

2- I_1 et I_0 sont > 0 donc $\sigma^2 > 0$ ssi $\underbrace{(1 - R_0^2 k^2)}_{\text{idem I.4.}} > 0$

Des courbes on a :

$$a k \rightarrow 0 \quad I_1 \sim a k \quad ; \quad a \in \mathbb{R}$$

$$I_0 \sim 1 + \frac{a}{2} k^2$$

$$\Rightarrow \sigma^2 \sim \frac{a k}{1} k \sim k^2 \quad \boxed{\sigma \sim k}$$

* k grand $\sigma^2 < 0 \Rightarrow \sigma = i\omega \Rightarrow$ ondes propagatives

$$k_{\text{moy}} = \frac{1}{2} u_c^2 \left(\frac{1}{k} \ln \left(\frac{y}{\delta_v} \right) + C \right)^2$$

On a $k_{\text{moy}} \approx k_{\text{turb}}$ pour $y \approx \delta_v \exp \left(k(\sqrt{z_1} - C) \right)$.

avec $k \approx 0,4$ et $C \approx 5$, on trouve $y \approx 0,4 \delta_v$

Dans la sous-couche inertielle, on a $k_{\text{moy}} \gg k_{\text{turb}}$.
($y \gg 10 \delta_v$)

7) $\underline{P} = -\overline{u_i u_j} \frac{\partial \overline{u_i}}{\partial x_j}$. Seul contributeur ici $i=x$ et $j=y$ sur les 9 termes de la somme.

soit $\underline{P} = -\overline{u_x u_y} \frac{\partial \overline{u_x}}{\partial y}$ avec $\frac{\partial \overline{u_x}}{\partial y} = \frac{u_c}{k y}$ et $\overline{u_x u_y} = -u_c^2$

$$\underline{P} = \frac{u_c^3}{k y} \quad \forall 10 \delta_v < y < \delta$$

\underline{P} diverge pour $y \rightarrow 0 \Rightarrow$ pas physique.

En pratique $\forall y < 10 \delta_v$ il n'y a plus de turbulence donc $\underline{P} \rightarrow 0$.

\underline{P} est donc maximal à la transition entre SCI et SCV.

$\underline{P} \rightarrow 0 \quad \forall y \gg \delta$ car pas de turbulence à l'ao.

Le maximum de \underline{P} est en $y \approx 10 \delta_v$: $\underline{P}_{\text{max}} = \frac{u_c^4}{10 k^2}$

8) Pour $i=x$, $j=y$; on a ici

$$\tau_{xy} = \rho \nu_T \frac{\partial \overline{u_x}}{\partial y} = \rho \nu_T \frac{u_c}{k y}$$

$$\text{or on a aussi } \tau_{xy} = \rho u_c^2$$

$$\text{d'où } \nu_T = k y u_c$$

$$\text{On identifie } \boxed{l_m(y) = k y}$$

$l_m(y)$ représente la taille des plus gros tourbillons responsables du transfert de q'te de movt. Il est donc logique de trouver $l_m \propto y$.

